

堆積学(夏学期, 水曜2限(10:30~12:00)

proxyと古環境解説

①4月9日	堆積学史、堆積粒子の起源	(多田①)
②4月16日	風化・浸食・運搬過程	(多田②)
③4月23日	碎屑性堆積物(浅海成相)	(多田③)
④5月7日	碎屑性堆積物(深海成相)	(多田④)
⑤5月14日	河川成相	(多田⑤)
⑥5月21日	化学沈殿岩	(小宮①)
⑦5月28日	風成相・氷河成相	(多田⑥)
⑧6月4日	碎屑岩の統成作用	(多田⑦)
⑨6月11日	堆積成鉱床	(小宮②)
⑩6月18日	堆積成鉱床と蒸発岩	(小宮③)
⑪6月25日	炭酸塩堆積物と炭酸塩岩	(小宮④)
⑫7月2日	proxyと古環境解説	(小宮⑤)
⑬7月16日	試験	

炭素と同位体について

同位体： ^{12}C (98.89%), ^{13}C (1.11%), (^{14}C 放射性同位体)

$$\delta^{13}\text{C} = \left\{ \frac{\left(\frac{^{13}\text{C}}{^{12}\text{C}}\right)_{\text{sample}}}{\left(\frac{^{13}\text{C}}{^{12}\text{C}}\right)_{\text{PDB}}} - 1 \right\} \times 1000 (\text{‰})$$

PDBとは

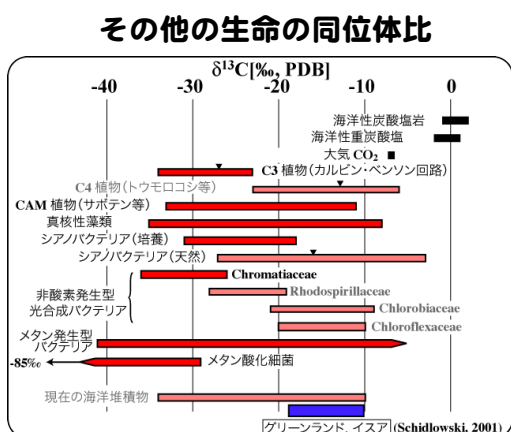
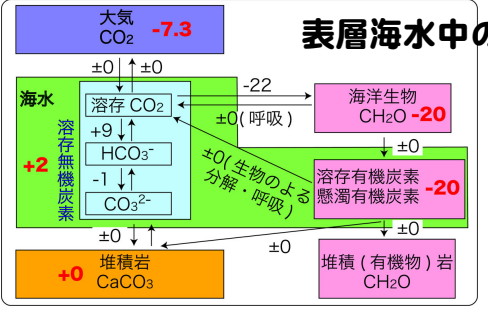
Pee Dee Belemnite

米国、サウスカロライナ州
の白亜紀のPee Dee層に
存在するBelemnite

方解石 CaCO_3 からなる。

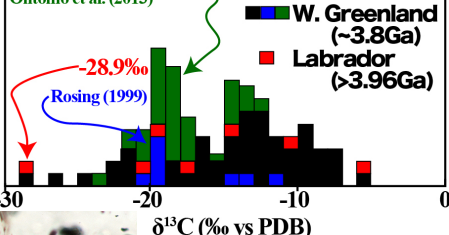


表層海水中の炭素

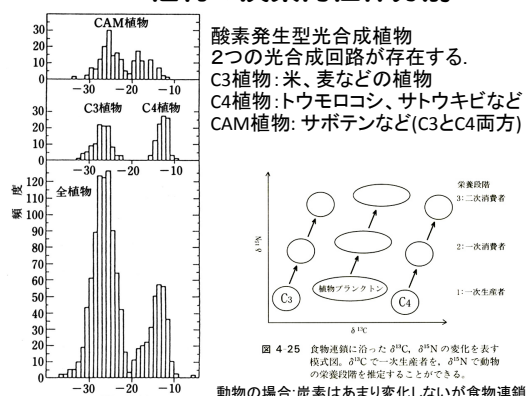


The oldest evidence for life

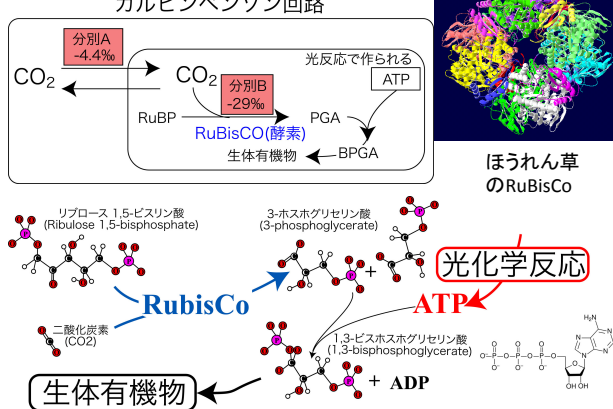
Ohtomo et al. (2013)



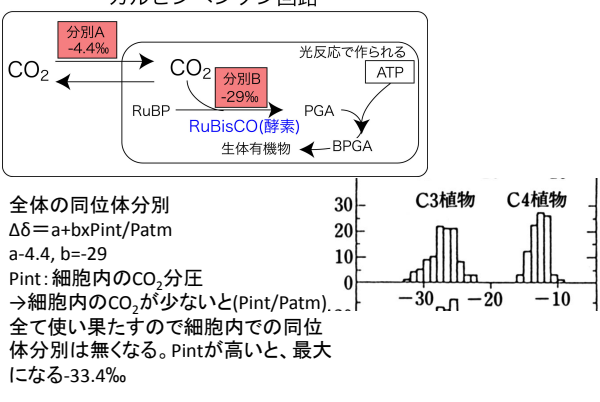
植物の炭素同位体分別

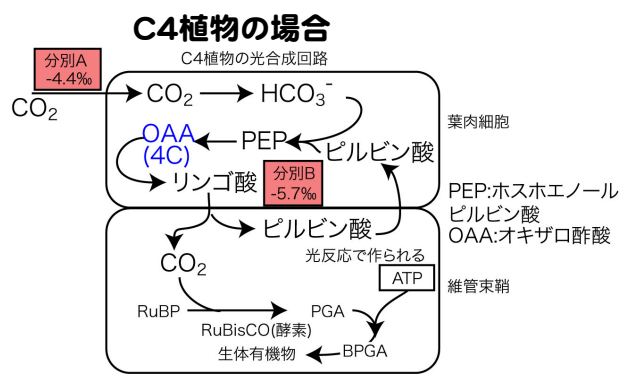


C3植物の場合 カルビンベンソン回路



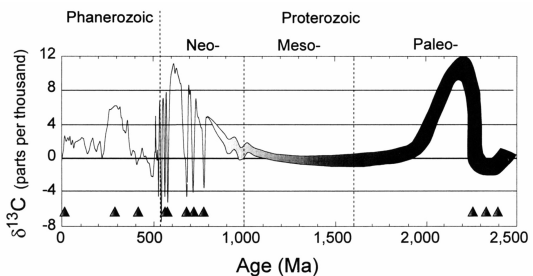
C3植物の場合 カルビンベンソン回路



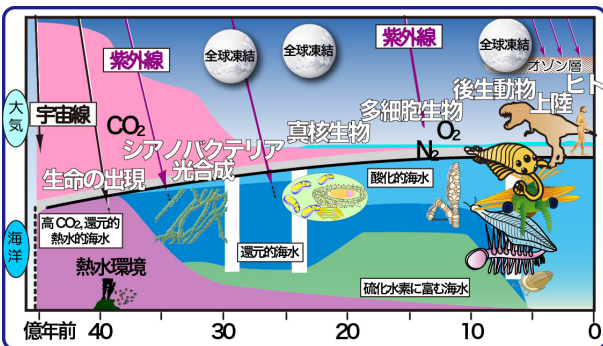


上部は、 CO_2 濃縮回路、カルビンベンソン回路部では CO_2 を全て使い果たすので同位体分別をしない。

海水の炭素同位体比の歴史



- ▲ 氷河期または全球凍結
- ① 2500 Maの正変動：負の同位体比をもった生命起源の炭質物が埋没された。
→ O_2 と反応せずに埋没することになるので、大気中の O_2 の増加を引き起す。
- ② 原生代末の炭素同位体異常。
- 全球凍結の直後：メタンハイドレートの分解や火山ガスの蓄積による。
- ③ 原生代頃の炭素同位体の正への変動→生命活動による???
- ④ 原生代一頭生代境界(540 Ma)の負異常：生命の絶滅による？？



全地球凍結とは

スノーボールアース (Snowball Earth、全球凍結、全地球凍結) とは、**地球全体が赤道付近も含め完全に氷床に覆われた状態**をいう。

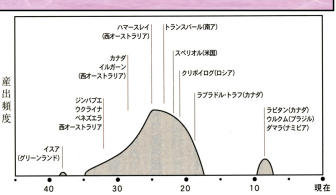
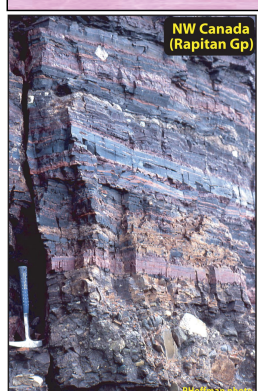
氷河期：地球の気候が長期に渡って寒冷化する期間で、極地の氷床や山地の氷河群が拡大する時代である。
(1) 南半球と北半球に氷床がある時期。現在も氷河期。
(2) 北アメリカとヨーロッパ大陸に氷床が拡大した寒冷期について用いられる。最後の氷河期は1万年前に終了した。

(1) の定義を採用し、氷河期の中の寒い時期を**氷期**、暖かい時期に**間氷期**という。

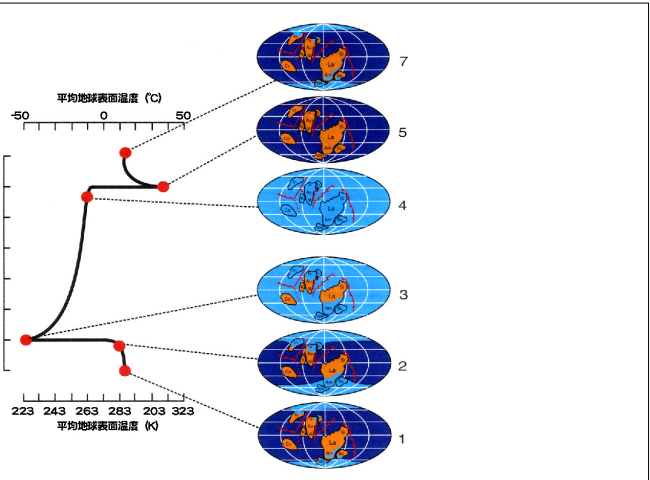
氷河性堆積物(寒冷)と炭酸塩岩(温暖)が伴う



全球凍結により海洋循環が停止：縞状鉄鉱層の堆積



還元的な(Fe^{2+} に富む)海水が間欠的に表層近くの酸化的な水と反応すると Fe^{3+} になり、 Fe(OH)_3 や FeO(OH) で沈殿



最終氷期の氷床分布 (北半球)

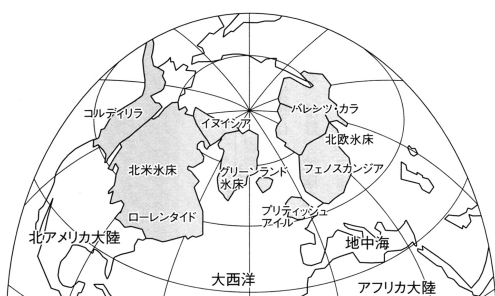
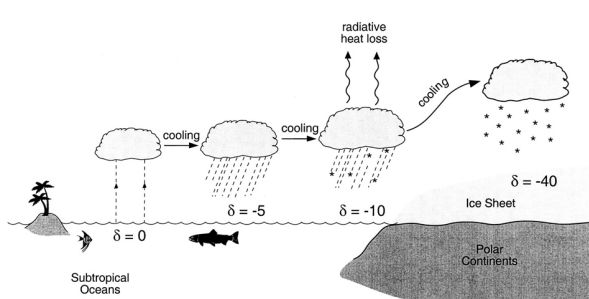


図2 最終氷期最盛期の頃の北半球に存在した巨大な氷床
アメリカ大陸や北欧は、厚さが2 km以上あるような氷床にすっぽりと覆われていた。(Denton and Hughes, 1981 改変)。

酸素同位体

(1) 軽い同位体ほど蒸発などのときに、気体に濃集する。



鉱物と水の間の酸素同位体分別

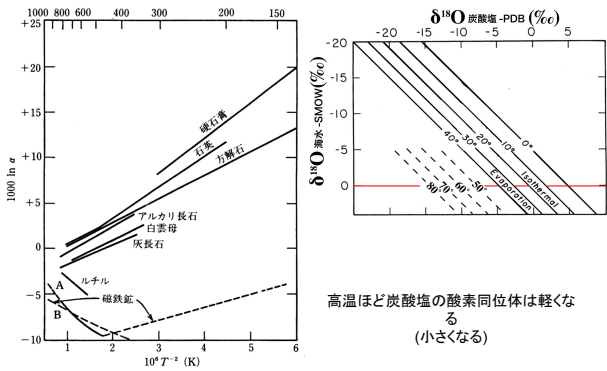
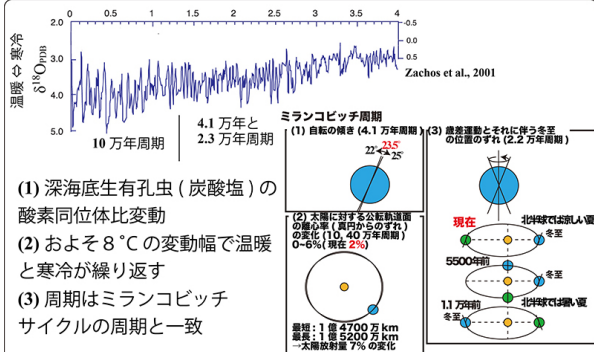


図 8-4 鉱物と水の間の酸素同位体平衡分別係数の温度依存性 (Faure, 1977)

$$\alpha = (\delta^{18}\text{O}_{\text{sample}} / \delta^{18}\text{O}_{\text{SMOW}})_{\text{mineral}} / (\delta^{18}\text{O}_{\text{sample}} / \delta^{18}\text{O}_{\text{SMOW}})_{\text{water}}$$

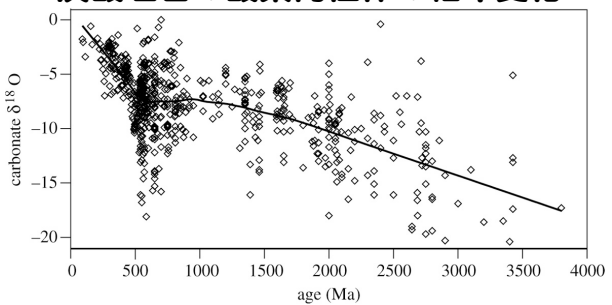
高温ほど炭酸塩の酸素同位体は軽くなる
(小さくなる)

地球表層温度とミランコビッチサイクル



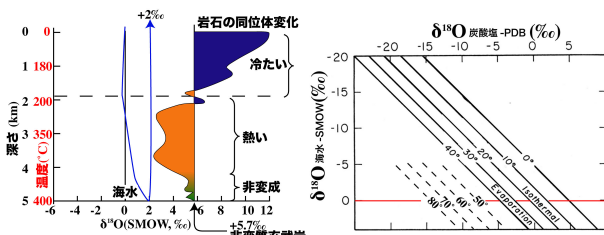
地球全体の太陽定数は変化しないので、なぜ北半球の寒冷時が地球全体の寒冷期になるのかは不明

炭酸塩岩の酸素同位体の経年変化



30億年前の海水は 70±15°C??

海水の酸素同位体比の経年変化?



熱水場から現在よりも低い同位体比を持つ大量の熱水が噴出、海水の同位体比をより低く。
→マントルの温度が高いため、熱い玄武岩地殻が中央海嶺で形成されたから

酸素同位体とリザーバーについて

マントル: +5.7±0.5‰

石灰岩やチャート:
海水から沈殿。

花崗岩: 玄武岩(マントル値)+堆積岩など

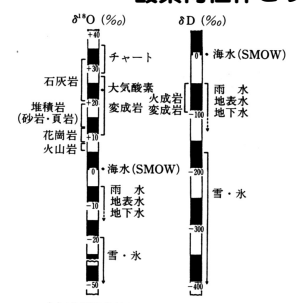


図 8-1 岩石や各種の水の酸素・水素同位体比の比較

標準平均海水 (SMOW) を基準にした千分率偏差値 ($\delta^{18}\text{O}$ 値, δD 値, 単位: ピーミル) で表わしてある。

(12) 統成作用(ドロマイト化作用)

- ① 炭酸塩晶出の原則: 飽和していても、晶出しやすい炭酸塩には順序がある
方解石 > アラゴナイト > ドロマイト
→ ドロマイトが晶出するには、ドロマイトに飽和、方解石・アラゴナイトに不飽和の条件が必要

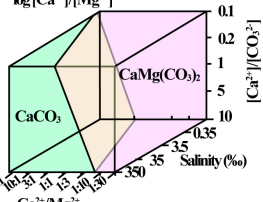
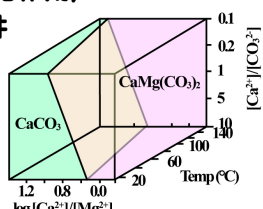
(12) 統成作用(ドロマイト化作用)

ドロマイト形成の一般的条件

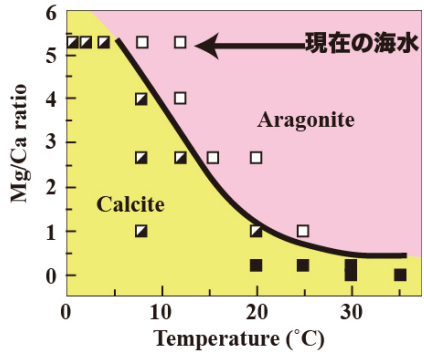
- ① Mg の供給
- ② 高濃度の CO₂
- ③ 高温水溶液
- ④ 高塩濃度
- ⑤ 低硫酸 (SO₄²⁻)

現在のドロストーン

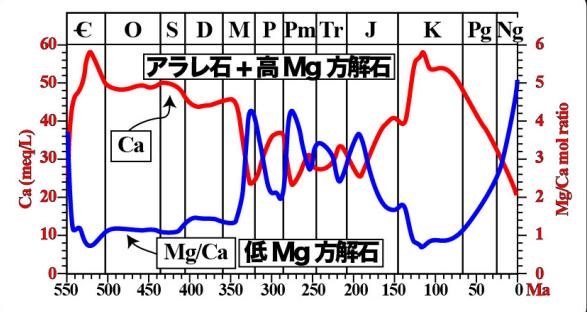
- ① 高塩分濃度湖や乾燥帯 (Sabhka)
- ② 非常に有機物に富む深海堆積物
- ③ 沖縄などのラグーン



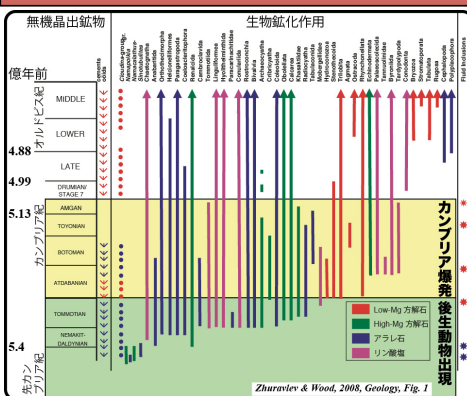
生物鉱化作用の進化と海水組成



Cal/arg seaと海水組成

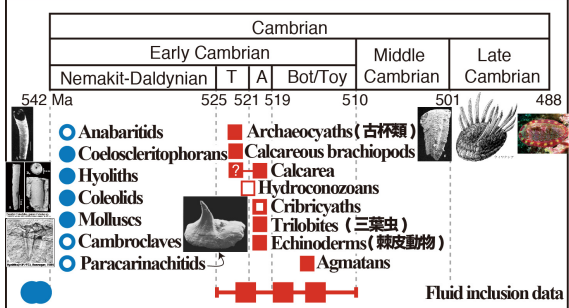


生物鉱化作用の進化と海水組成

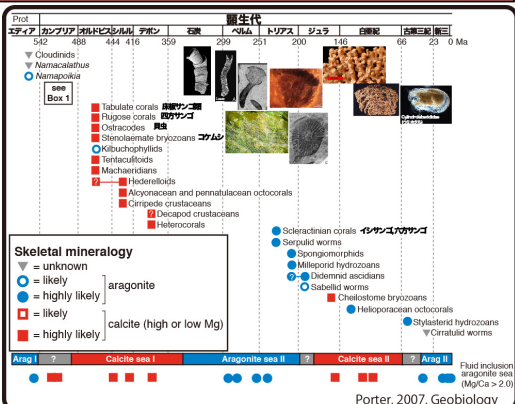


生物鉱化作用の進化と海水組成

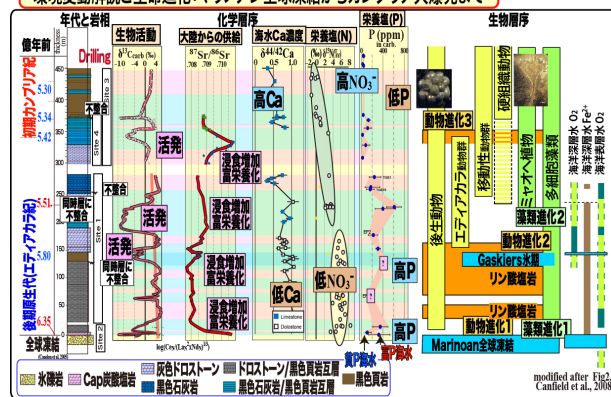
Cambrian の生物出現と biomimicry



生物鉱化作用の進化と海水組成



環境変動解説と生命進化: マリアン全球凍結からカンブリア大爆発まで



Sr同位体進化

表5.1 Sr-Nd同位体進化のモデル計算

	Rb	Sr	Sm	Nd
始源的マントル(ppm)	0.635	21.1	0.44	1.4
同位体初生比		0.69899		0.50660
塊変動同位体の存在度(%)	27.835	9.86	15.0	23.8
塊変動率(y ⁻¹)	1.42×10 ⁻¹¹	0.013	0.02	0.014
全岩石組成	0.009			
同位体比(始源的マントル)		0.70473		0.51261
同位体比(残存マントル)		0.70384		0.51328
同位体比(地殻)		0.70807		0.51137

同位体比は⁸⁷Sr/⁸⁶Sr・¹⁴³Nd/¹⁴⁴Ndの値

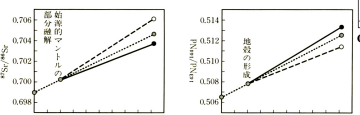
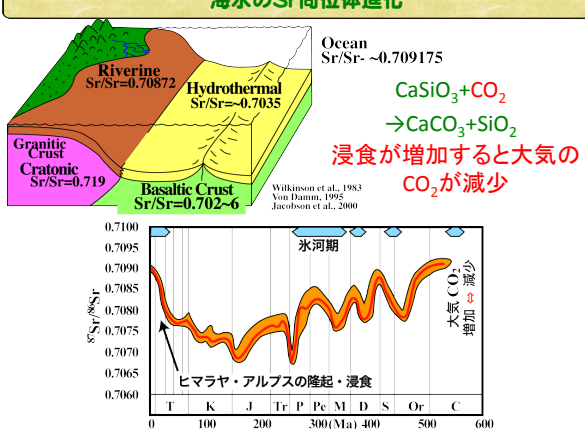
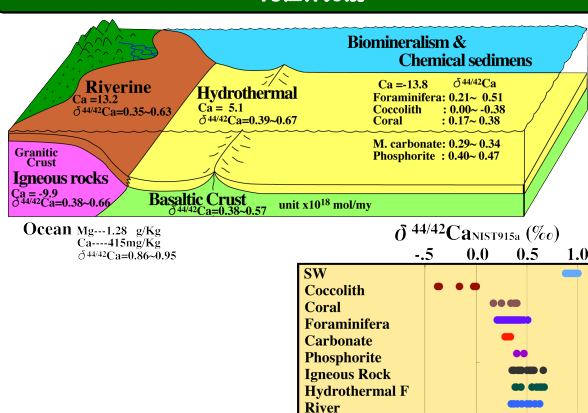


図5.2 分別集合解離過程で分化が進行した場合のSrおよびNd同位体比の変化

海水のSr同位体進化

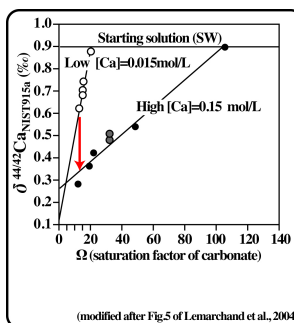


Ca 同位体分別



Ca 同位体分別

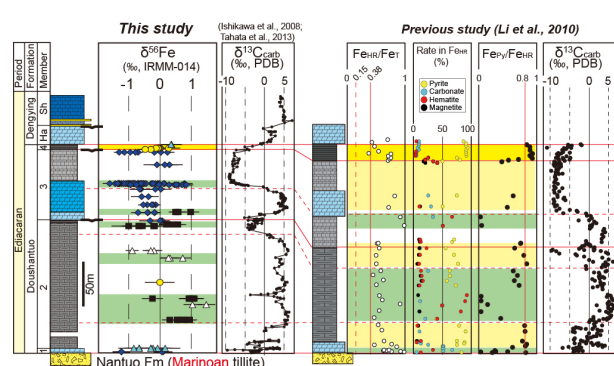
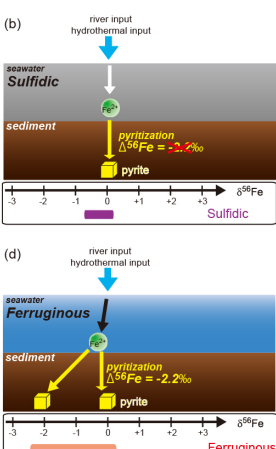
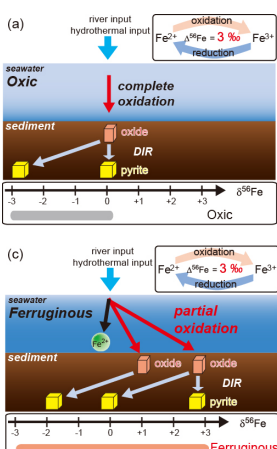
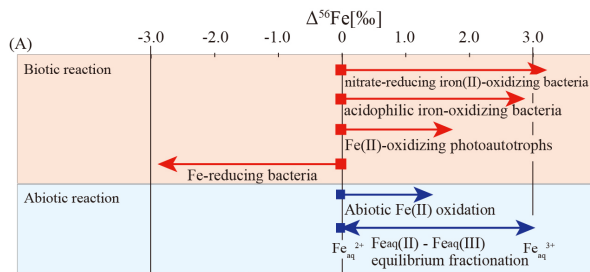
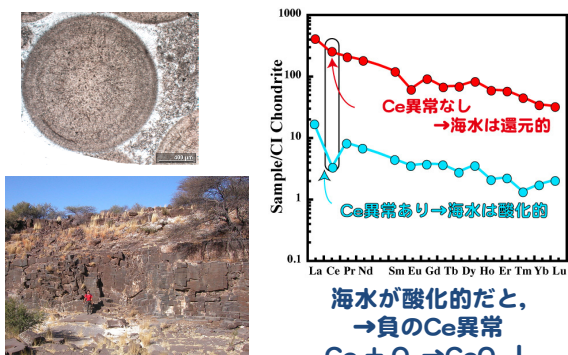
平衡分別 + CO_3^{2-} や (Ca^{2+}) の拡散の効果
(Lemarchand et al., 2004)



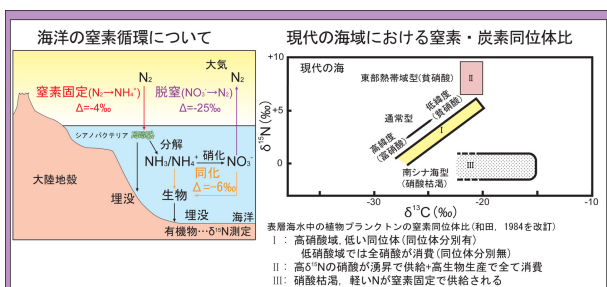
高 $[\text{Ca}^{2+}]$ 濃度
→ 同位体分別が
大きくなる
→ 低 $\delta^{44/42}$ Ca 値

- 海水酸素濃度の経年変化 -

炭酸塩の組成に基づく古海水組成の復元



窒素同位体



堆積物中の有機窒素同位体比から海水の硝酸濃度を推定

